

# همسان سازی ژن *LysA* در وکتور بیانی برای افزایش تولید اسید آمینه L- لیزین

سارا چراغی<sup>۱\*</sup>، عظیم اکبرزاده<sup>۲</sup>، رضا حاجی حسینی<sup>۳</sup>، هادی انصاری هادی پور<sup>۴</sup>، سمیه حمزه‌ای تاج<sup>۵</sup>،  
سمانه خادمی مزده<sup>۵</sup>، محمد رضا مهربانی<sup>۵</sup>، علی فرهنگ<sup>۵</sup>، زهرا صفاری<sup>۵</sup>، سهیل قاسمی<sup>۵</sup>

۱- کارشناسی ارشد بیوشیمی، دانشگاه پیام نور تهران

۲- دانشیار بخش پایلوت بیوتکنولوژی، انستیتوپاستور تهران

۳- دانشیار، دانشگاه پیام نور تهران

۴- استادیار، دانشگاه اراک

۵- بخش پایلوت بیوتکنولوژی، انستیتوپاستور ایران

\*تهران، صندوق پستی ۱۳۱۶۴

[cheraghi\\_So@yahoo.com](mailto:cheraghi_So@yahoo.com)

(دریافت مقاله: ۸۹/۱۰/۴، پذیرش: ۹۰/۳/۲)

**چکیده-** L- لیزین یکی از اسیدهای آمینه ضروری است که در تغذیه انسان و دام اهمیت زیادی دارد. این اسید آمینه به دلیل کاربرد زیاد در صنایع دارویی و غذایی اهمیت دارد. تولید صنعتی لیزین از نظر اقتصادی بسیار مؤثر است. سالانه چندین هزار تن لیزین در جهان به وسیله *Corynebacterium glutamicum* تولید می‌شود.

روش بررسی: پس از تهیه پرایمرهای اختصاصی با دو توالی برشی در انتهای ۵' پرایمرها برای آنزیم-های *HindIII* و *NheI*، ژن مورد نظر با روش PCR تکثیر و برای تعیین ترادف در وکتور pTZ57R/T کلون شد. پس از تعیین ترادف و اطمینان از صحت ژن مورد نظر، قطعه ژنی با انتهای چسبنده در وکتور بیانی pET28a کلون و به سویه *E. coli* BL21 (DE3) انتقال داده شد. پلاسمید نوترکیب با روش‌های هضم آنزیمی و تعیین ترادف ارزیابی شد. یافته‌ها: ژن *LysA* به طول ۱/۴ kb با توالی صحیح کلون شد. هضم آنزیمی با موفقیت انجام شد بدین ترتیب که ژن *LysA* به‌طور کامل از پلاسمید جدا شد. همسان سازی با SDS-PAGE تأیید شد. بحث: در این مطالعه ژن کدکننده آنزیم دی‌آمینوپیمیلات دکربوکسیلاز (EC ۴.۱.۱.۲۰) در وکتور بیانی همسان و وکتور بیانی بررسی شد.

**کلید واژه‌گان:** pET28a، کورینه‌باکتریوم گلوتامیکوم، دی‌آمینوپیمیلات دکربوکسیلاز، pTZ57R/T

## ۱- مقدمه

حدود ۵۰ سال است که از میکروارگانسیم‌ها برای تولید L- لیزین استفاده می‌شود [۱-۲]. لیزین به‌عنوان مکمل غذایی حیوانات استفاده قرار می‌شود و معمولاً با غلات که فاقد سطح کافی L-لیزین و مورد نیاز برای تغذیه دام‌های اهلی هستند، مخلوط می‌شود. همچنین لیزین کیفیت غذا را با افزایش جذب دیگر اسیدهای آمینه افزایش می‌دهد [۳].

سوش تولیدکننده L-لیزین کورینه‌باکتریوم گرم مثبت، *Corynebacterium glutamicum* است که شامل زیر گونه‌های *Brevibacterium lactofermentum* *Brevibacterium flavum* و *Corynebacterium efficiens* *Corynebacterium lilium* و *Brevibacterium divaricatum* است [۴، ۵] که از مهمترین ارگانسیم‌های صنعتی تولیدکننده لیزین به‌شمار می‌رود. از دیگر گونه‌هایی که برای تولید لیزین به‌کار می‌روند، سویه‌های نو ترکیب *E. coli* است [۶، ۷، ۸]. *C. glutamicum* باکتری خاکری، غیربیماریز، غیرمتحرک [۹-۱۰] و آگزوتروف به ویتامین بیوتین [۱۱] است که به‌طور گسترده برای تولید اسیدهای آمینه به‌کار می‌رود و اولین بار در سال ۱۹۵۰ به‌وسیله کینوشیتا از خاک جدا شد [۱۲]. به دلیل ارزش اقتصادی این میکروارگانسیم، مطالعات زیادی در مسیرهای سنتز، ساز و کار مولکولی تولید، جداسازی و تعیین توالی نوکلئوتیدی ژن‌های درگیر در مسیر بیوسنتز و همسان‌سازی اسیدهای آمینه انجام شده است [۱۳].

در این ارگانسیم، لیزین، ترئونین، متیونین و ایزولوسین از آسپاراتات مشتق می‌شوند. مسیر بیوسنتز اسیدهای آمینه خانواده آسپاراتات در این ارگانسیم‌ها به‌وسیله ساز و کارهای تنظیمی در محل انشعاب کنترل می‌شوند [۱۴].

در مسیر بیوسنتز L-لیزین، آنزیم meso-دی‌آمینوپیمیلات دکربوکسیلاز واکنش انتهایی مسیر، واکنش تبدیل meso-دی‌آمینوپیمیلات به لیزین را کاتالیز می‌کند meso-

دی‌آمینوپیمیلات همچنین در ساخت دیواره سلولی نقش اساسی دارد [۱۳]. بنابراین meso-دی‌آمینوپیمیلات دکربوکسیلاز از مهمترین آنزیم‌های مسیر بیوسنتز لیزین است که افزایش فعالیت و تقویت ژن آن موجب افزایش راندمان تولید می‌شود [۱۵]. در این مطالعه، همسان‌سازی ژن *LysA* سویه *C. glutamicum* ATCC 21799 گزارش شده است.

## ۲- مواد و روش‌ها

سویه‌ها، پلاسمید و محیط: *C. glutamicum* ATCC 21799 مقاوم به آنالوگ لیزین آمینواتیل سیستئین واگزوتروف به هموسرین از بانک میکروبی آمریکا (ATCC) خریداری شده است.

*E. coli* DH5a به‌عنوان ناقول کلونینگ و *E. coli* BL21 (DE3) به‌عنوان میزبان بیانی از بانک ژن و نو ترکیب (پلاسمید و میزبان) انستیتو پاستور تهیه شد (جدول ۱).

جدول ۱ باکتری‌ها و پلاسمیدها

Strain or plasmid	Genotype or description	Source
<i>C. glutamicum</i>	Lysine-producing strain AEC <sup>R*</sup>	ATCC
<i>E. coli</i> DH5a	<i>supE44 hsdR17 recA1 endA1 gyrA96 thi-1 relA1</i>	NRGB**
<i>E. coli</i> BL21(DE3)	<i>F- ompT hsdSB(rB-mB-) gal dcm (DE3)</i>	NRGB
plasmid		
pTZ57R/T	<i>lacZa Ap<sup>f***</sup></i>	Fermentase
pET28a	<i>Km<sup>f***</sup></i>	NRGB

\*AEC<sup>R</sup> indicates resistance to S- 2- aminoethyl- L- cysteine, a Lysine analog.

\*\* National Recombinant Gene Bank- Pasteur Institute of Iran

\*\*\*Km<sup>f</sup> and Ap<sup>f</sup> indicate resistance to kanamycin and ampicillin.

*C. glutamicum* و سویه‌های *E. coli* در محیط (Luria bertani) LB به ترتیب در دمای ۳۰ و ۳۷ درجه سانتی‌گراد کشت داده شده‌اند. از آنتی‌بیوتیک‌های

*Polymerase* که خاصیت تصحیح دارد استفاده کردیم؛ ولی استفاده از این آنزیم، امکان کلونینگ از طریق pTZ57R/T وکتور را غیرممکن می‌سازند زیرا این آنزیم فعالیت طویل‌کننده ندارد و قادر به اضافه کردن یک نوکلئوتید A اضافه در انتهای ۳' محصولات PCR نیست. به همین منظور برای اضافه کردن نوکلئوتید A اضافه در انتهای ۳'، بعد از تخلیص، محصول PCR از ژل با استفاده از کیت تخلیص از ژل تهیه شده از شرکت Intron، محصول در حجم نهایی ۱۰ میکرولیتر با مقادیر ۱ میکرولیتر بافر PCR 10x آنزیم *Taq* پلیمراز، ۱ میلی‌مولار  $MgCl_2$ ، ۱ میکرولیتر dATP و ۱ واحد آنزیم *Taq* پلیمراز مخلوط شد و مدت ۳۰ دقیقه در دمای ۷۲ درجه سانتی‌گراد انکوبه شد. سپس در وکتور pTZ57R/T همسان شدند و پلاسمید نوترکیب به سلول‌های *E. coli DH5a* حساس شده به روش  $CaCl_2$  انتقال داده شد [۱۶]. در مرحله بعد سلول‌ها روی پلیت حاوی  $50 \mu g/ml$  آمپی‌سیلین،  $20 mM$  IPTG و  $20 \mu g/ml$  X-gal کشت داده شدند و بعد از یک شب انکوبه کردن در دمای ۳۷ درجه سانتی‌گراد، کلونی‌های سفید انتخاب شدند. بعد از تخلیص پلاسمید نوترکیب به روش لیز قلیایی [۱۷]، تعیین توالی با استفاده از پرایمر T7 انجام شد. صحت کامل توالی ژن *LysA* کلون شده تأیید شد [۱۸].

#### تکثیر و آماده‌سازی پلاسمید: pET28a

پس از انتقال در *E. coli DH5a* [۱۶] با استفاده از روش لیز قلیایی استخراج و با آنزیم‌های برشی *NheI* و *HindIII* برش داده شد. برای بالا بردن کارایی کلون‌سازی و جلوگیری از خود اتصالی حامل، برداشتن فسفات از انتهای ۵' آن با استفاده آلکالین فسفاتاز (CIP) انجام شد.

آمپی‌سیلین و کانامایسین با غلظت‌های ۱۰۰ و ۵۰ میلی‌گرم استفاده شد پلاسمید بیانی pET28a از بانک ژن نوترکیب (پلاسمید و میزبان) انستیتو پاستور ایران، وکتور pTZ57R/T و تمام مواد مورد استفاده، از شرکت Fermentase تهیه شده است.

#### استخراج DNA ژنومی از سوش *C. glutamicum*:

استخراج DNA ژنومی از سوش *C. glutamicum* ATCC 21799 با روش لیز به وسیله لیزوزیم و SDS انجام شد [۱۶].

#### واکنش زنجیره‌ای پلی‌مراز (PCR): واکنش PCR با

یک پرایمر در بالادست، شامل ناحیه کدون شروع  $5' \text{GCTAGCGAAGATGTAACAATGGC} 3'$  با توالی برشی آنزیم *NheI* و پرایمر پایین دست  $5' \text{AAGCTTAAGAAACCCAGAAACCC} 3'$  با توالی برشی آنزیم *HindIII* از ژن *LysA* انجام شد. مقادیر استفاده شده در واکنش شامل ۲ میکرولیتر بافر PCR 10x،  $1/5$  میلی‌مولار  $MgCl_2$ ،  $0/2$  میلی‌مولار dNTP،  $0/5$  میکرومولار هر پرایمر، ۱ واحد آنزیم *pfu* پلیمراز و ۱۰۰ نانوگرم از DNA الگو در حجم نهایی ۲۰ میکرولیتر بود (تمام مواد استفاده شده از شرکت Fermentase تهیه شد).

سیکل دمایی استفاده شده شامل دمای دناتوره شدن ۹۴ درجه سانتی‌گراد، دمای اتصال پرایمر ۵۸ درجه سانتی‌گراد و دمای تکثیر ۷۲ درجه سانتی‌گراد بوده است. محصولات PCR با استفاده از ژل آگارز یک درصد حاوی اتیدیوم بروماید و سایز مارکر در الکتروفورز ارزیابی و تأیید شدند.

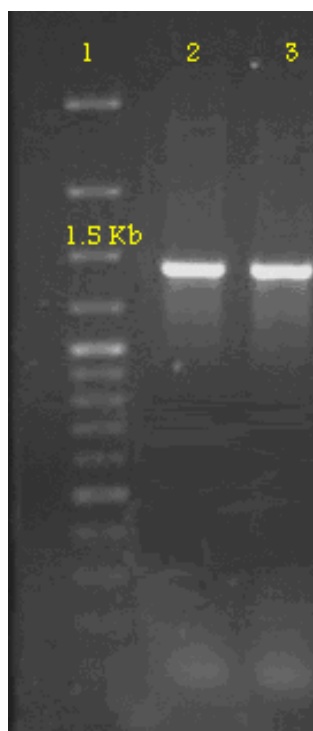
#### همسان سازی در pTZ57R/T وکتور: برای کاهش

احتمال خطا طی تکثیر از آنزیم *pfu DNA*

هلشر- اولتراسوند تکنولوژی، انجام شد. بعد از سانتریفوژ نمونه، محلول رویی برای سنجش بیان پروتئین با استفاده از ژل ۱۲٪ SDS-PAGE بررسی شد.

### ۳- یافته‌ها

شرایط بهینه (غلظت‌های مختلف یون منیزیم، dNTP، پرایمر، آنزیم پلیمرز، DNA الگو و درجه حرارت‌های مختلف) برای جداسازی و تکثیر ژن *LysA* از ژنوم *C. glutamicum* ATCC21799 با استفاده از تکنیک PCR انجام شد. شکل ۱ نتایج حاصل از واکنش PCR را نشان می‌دهد.



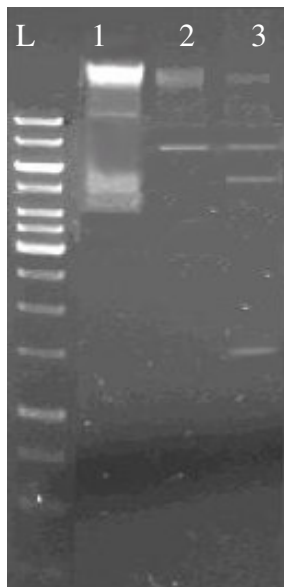
شکل ۱ الکتروفورز محصول PCR بر روی ژل آگارز ۱ درصد در بافر ۱.TBE (۱. سایز مارکر 3 Kb ladder plus، ۲) محصول PCR با آنزیم *Pfu* پلیمرز، ۳) محصول PCR با آنزیم *Taq* پلیمرز.

آماده‌سازی و کلونینگ ژن *LysA*: ژن *LysA* همسان شده در وکتور pTZ57R/T با آنزیم‌های برشی *NheI* و *HindIII* برش داده شد. تمام مراحل خالص‌سازی قطعه ژن (insert) و حامل با الکتروفورز و استخراج از ژل آگاروز LMP با استفاده از کیت استخراج از ژل تهیه شده از شرکت Intron انجام شد. در نهایت قطعه مورد نظر با فرایند Ligation در حامل بیانی pET28a کلون شد.

انتقال به *E. coli* BL21 (DE3): سوش *E. coli* BL21 (DE3) به روش  $\text{CaCl}_2$  حساس شده و انتقال پلاسمید نوترکیب انجام شد و پس از انتقال مخلوط اتصالی به سلول *E. coli* BL21 (DE3) و کشت آن روی محیط LB آگار حاوی آنتی‌بیوتیک کانامایسین (۵۰ mg/ml)، کلنی‌های رشدیافته به عنوان کلون‌های واجد حامل و احتمالاً واجد قطعه ژن انتخاب شدند. برای اطمینان از وارد شدن قطعه ژن در حامل، این کلونی‌ها تصادفی انتخاب شدند و به وسیله واکنش PCR، استخراج پلاسمید، هضم آنزیمی با آنزیم‌های برشی و الکتروفورز ژل آگاروز بررسی شدند. در نهایت عمل تعیین توالی، صحت کامل توالی ژن *LysA* و قرارگیری صحیح آن در جایگاه خواندن تایید شد.

بررسی بیان ژن: باکتری حاوی پلاسمید نوترکیب را در محیط کشت LB مایع حاوی آنتی‌بیوتیک کانامایسین (۵۰ mg/ml) کشت داده و زمانی که ضریب جذب نوری کشت باکتری (طول موج ۶۰۰ nm) ۰/۸-۰/۵ رسید به میزان ۰/۱ mM IPTG اضافه و رسوب باکتریایی، هر یک ساعت بعد از تلقیح IPTG برداشت شد. رسوب حاصل دوبار با ۰/۹ NaCl شست‌وشو داده شد؛ و سپس در بافر TE [تریس اسید ۱۰۰ mM و EDTA ۱ mM] حل و سونیکاسیون با دستگاه اولتراسونیک مدل [pH۸]

است. تعیین ترادف سکانس ژن *LysA* نمایانگر آن بود که کاست بیانی به همراه پروموتور T7، محل اتصال ریوزوم، کدون آغازی (ATG)، قطعه ژن (*LysA*)، برچسب هیستیدینی (6x His tag) و سکانس‌های پایانی، در ترادف مناسب پشت سرهم قرار گرفته‌اند. نتایج تعیین ترادف این ژن با ترادف اعلام شده در بانک ژنی به وسیله نرم‌افزار chormas، صحت ژن تکثیر یافته را نشان می‌دهد. بررسی نرم‌افزاری حاکی از آن بود که این ژن، پروتئینی به وزن مولکولی ۴۷ کیلودالتون را کد می‌کند ۴۴۵ اسید آمینه دارد. نتایج بررسی بیان پروتئین نو ترکیب با استفاده از ژل SDS-PAGE در شکل ۴ نمایش داده شده که در مقایسه با نمونه شاهد، بیان قابل توجهی دارد.



شکل ۳ برش آنزیم محدود الاثر پلاسمید pET28a نو ترکیب با آنزیم‌های *HindIII* و *NheI* جهت تأیید وجود ژن *lysA*. L: 10Kb ladder plus (۱)، پلاسمید نو ترکیب pET28aLysA هضم نشده، (۲) هضم پلاسمید نو ترکیب با آنزیم *NheI* (۳) هضم با هر دو آنزیم *HindIII* و *NheI*، قطعه همسانه شده از پلاسمید جدا گردید.

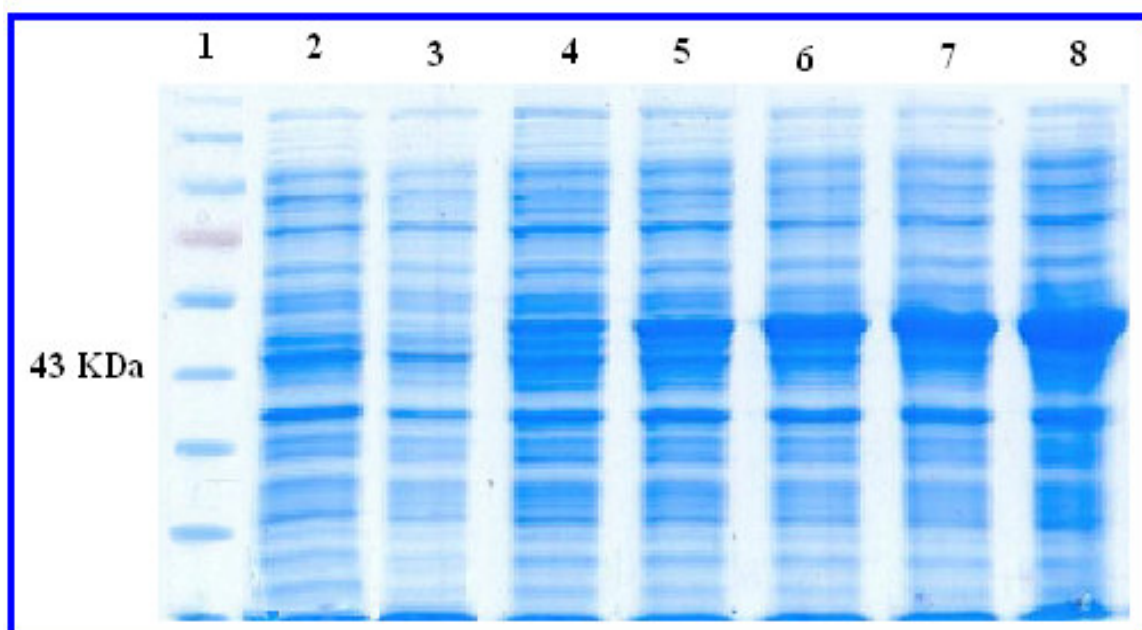
محصول PCR در پلاسمید pTZ57R/T همسان شد، پلاسمیدهای نو ترکیب pTZ57R/T به وسیله هضم آنزیمی با دو آنزیم برشی *HindIII* و *NheI* و انجام PCR تأیید شدند. آنالیز هضم آنزیمی پلاسمید نو ترکیب با آنزیم‌های *NheI* و *HindIII* (شکل ۲) مشخص کرد که ژن *LysA* به طور صحیح در کلونینگ سایت مورد نظر قرار گرفته است.



شکل ۲ الکتروفورز محصول هضم آنزیمی با دو آنزیم *NheI* و *HindIII* بر روی ژل آگارز ۰/۸ درصد. (۱) سایز مارکر ۲،۳Kb ladder plus (۲) پلاسمید pTZ57R/T حاوی ژن *LysA* هضم شده با آنزیم‌های برشی

بعد از انجام لیگاسیون ژن *LysA* با انتهای چسبنده و پلاسمید بیانی pET28a و انتقال به سویه *E. coli BL21 (DE3)*، کلونی‌های صحیح با واکنش PCR و سپس هضم آنزیمی انتخاب شدند.

آنالیز هضم آنزیمی پلاسمید نو ترکیب pET28aLysA با آنزیم‌های *HindIII* و *NheI* (شکل ۳) مشخص کرد که ژن *LysA* به طور صحیح در کاست بیانی مورد نظر قرار گرفته



شکل ۴ الکتروفورز پروتئین نوترکیب بوسیله SDS-PAGE. (۱) مارکر وزن ملکولی، (۲) کنترل منفی، (۳-۸) بیان پروتئین در زمان ۰، ۶۰، ۱۲۰، ۱۸۰، ۲۴۰ و ۳۰۰ دقیقه بعد از تلقیح IPTG (۱ mM). (۰/۱)

#### ۴- بحث

در صنعت، L-لیزین با روش‌های مختلفی مانند سنتز آنزیمی، سنتز شیمیایی و روش بیوتکنولوژی تولید می‌شود [۱۹]. در بین این روش‌ها، تولید بیوتکنولوژی مناسب‌تر و اقتصادی‌تر است زیرا در این روش با استفاده از منابع اولیه ارزان‌قیمت و در دسترس می‌توان لیزین تولید کرد. آنزیم دی‌آمینوپیمیلات دکربوکسیلاز به وسیله ژن *LysA* کد می‌شود [۲۰]. DNA الگو در تکثیر ژن *LysA* از سوبه *C. glutamicum* ATCC 21799 تخلیص شد، با توجه به بزرگی اندازه ژن، کیفیت DNA کروموزومی مورد استفاده، اهمیت زیادی دارد؛ به همین دلیل با انجام تغییراتی در پروتکل استاندارد، نتیجه مطلوب حاصل شد. برای به دست آوردن محصول PCR بدون هرگونه موتاسیون، پس از ایجاد شرایط بهینه با آنزیم *Taq*

پلیمراز، از آنزیم *pfu* پلیمراز که دارای سیستم اصلاح است استفاده شد.

بعد از تکثیر ژن مورد نظر با PCR، همسان‌سازی آن در وکتور pTZ57R/T انجام شد. با همسان‌سازی ژن در وکتور pTZ57R/T، امکان برش آنزیمی با کارایی بالا برای انجام مراحل بعدی امکان‌پذیر می‌شود؛ همچنین وکتور pTZ57R/T مولتی‌کلونینگ سایت است و دارای چندین سایت برشی برای آنزیم‌های اندونوکلازی است. این استراتژی، همسان‌سازی ژن مورد نظر را در حامل‌های بیانی متعدد امکان‌پذیر می‌سازد.

با کلون کردن ژن در وکتور بیانی pET28a بیان ژن در ناقل بیانی امکان‌پذیر می‌شود و کلونینگ وسیله‌ای برای رسیدن به پروتئین است. وکتور pET28a دارای پروموتور قوی T7 است که برای کنترل بیان پایه

- [5] Liebl W., Ehrmann M., Ludwig W., Schleifer KH., Transfer of *Brevibacterium divaricatum* DSM 20297t, *Brevibacterium flavum* DSM 20411, *Brevibacterium lactofermentum* DSM 20412 and DSM 1412, and *Corynebacterium glutamicum* and their distinction by rRNA gene restriction patterns. *Int J Syst Bacteriol*, 1991; 41:255–260.
- [6] Imaizumi A., Kojima H., Matsui K., The effect of intracellular ppGpp levels on glutamate and lysine overproduction in *Escherichia coli*. *J Biotechnol*, 2006; 125:328–337.
- [7] Imaizumi A., Takikawa R., Koseki C., Usuda Y., Yasueda H., Kojima H., Matsui K., Sugimoto S, Improved production of l-lysine by disruption of stationary phase-specific *rmf* gene in *Escherichia coli*. *J Biotechnol*. 2005; 117: 111–118.
- [8] Tryfona T., Mak T., Fermentative production of lysine by *Corynebacterium glutamicum*: Transmembrane transport and metabolic flux analysis *Process Biochemistry*, 2005; 40, 499-508.

مناسب است (پروموتر قوی T7 از فاز T7 گرفته شده که کارایی بالایی در نسخه‌برداری دارد)؛ بنابراین با افزایش بیان و بهینه‌سازی محیط کشت انتظار می‌رود که در مطالعات آینده، میزان تولید لیزین نیز افزایش یابد [۱۵]. ما در این مطالعه با استفاده از روش‌های مهندسی ژنتیک توانستیم یکی از مهم‌ترین ژن‌های مسیر بیوسنتز لیزین را همسان کنیم. در مطالعات آینده می‌توان با انجام کلونینگ در سویه اصلی تولید این پروتئین و لیزین را افزایش داد. تولید لیزین با روش‌های بیوتکنولوژی می‌تواند گامی مؤثر برای تولید این ماده در کشور باشد و کشور را از واردات این ماده بی‌نیاز سازد.

## ۵- مراجع

- [1] Hirose Y, Shibai H. L-Glutamic acid fermentation. In: Moo-Young M, editor. *Comprehensive biotechnology*, 1985; 3:595–600.
- [2] Eggeling L, Sahm H. L-glutamate and L-lysine: traditional products with impetuous developments. *Appl Microbiol Biotechnol* 1999; 52:146–53.
- [3] Anastassiadis S., L-Lysine fermentation, *Biotechnology*, 2007; 1, 11- 24.
- [4] Liebl W., *Corynebacterium* taxonomy. In: Eggeling L, Bott M (eds) *Handbook of Corynebacterium glutamicum*. CRC, Boca Raton, 2005; FL, pp 9–34

- expression by arginine, J. of Bacteriology, 1998; p: 7356- 7362.
- [14] Grace E., Colon, Mike S., Effect of inducible *thrB* expression on amino acid production in *Corynebacterium lactofermentum* ATCC 21799, Applied and Environmental Microbiology, 1995; p: 74-78.
- [15] Hirono, Seiko, Sugimoto, Masakazu, Nakan, Eiichi, Izui, Masako, Hayakawa, Yoshihara, Method of producing L-lysine, United states patent, 2000; 6090597.
- [16] Maniatis, T., E. F. Fritsch, and J. Sambrook. Molecular cloning: a laboratory manual. Cold Spring Harbor University Press, Cold Spring Harbor, N.Y. 1982.
- [17] Feliciello I, Chinali G. A modified alkaline lysis method for the preparation of highly purified plasmid DNA from *Escherichia coli*. Anal Biochem. 1993; 212: 394-401.
- [18] Maxam, A.M. and Gilbert, W. A new method for sequencing DNA. Biotechnology, 1992; 24: 99-103.
- [9] Kinoshita S, Udaka S, Shimono M. Studies on the amino acid fermentation Part I. Production of L-glutamic acid by various microorganisms. J Gen Microbiol, 1957; 3: 193–205.
- [10] Eikmanns B, Kricher M, Reinscheid D. Discrimination of *Corynebacterium glutamicum*, *Brevibacterium flavum* and *Brevibacterium lactofermentum* by restriction pattern analysis of DNA adjacent to the *hom* gene. FEMS Microbiol Lett, 1991; 82:203–8
- [11] Kinoshita S. Glutamic acid bacteria. In: Demain AL, Solomon NA, editors. Biotechnology of industrial microorganisms. London: Benjamin Cumings, 1985; p. 115–142.
- [12] Hermann T., Industrial production of amino acids by coryneform bacteria. J. Biotechnol. , 2003; 104:155-172.
- [13] Jose A. Oguiza, Malumbres M., Eriani G., Pisabarro A. and Martin J., A gene encoding arginyl- tRNA synthetase is located in the upstream region of the *lysA* gene in *Brevibacterium lactofermentum*: regulation of *argS- lysA* cluster



[20] Pfefferle W., Mckel B., Bathe B., Marx A., Biotechnological manufacture of lysine. *Adv Biochem Eng Biotechnol.*, 2003; 79:59–112.

[19] Ault A. and Kauffman G.B., The monosodium glutamate story: the commercial production of MSG and other amino acids. *Journal of Chemical Education*, 2004; 81 (3): 347-355.